

# Ионизационная рефракция как причина пространственно-временной модуляции короткого интенсивного лазерного импульса

М.В.Чеготов

*Проанализирована трехмерная динамика распространения короткого интенсивного лазерного импульса в ионизирующемся веществе. На основе предложенной аналитической модели исследована модуляция временного профиля лазерного импульса, обусловленная существенно трехмерной динамикой его распространения. Предложен критерий осуществления различных сценариев распространения импульса в ионизирующемся газе. Численный самосогласованный анализ нелинейного распространения импульса в ионизирующемся веществе показал правильность выводов простейшей аналитической модели.*

**Ключевые слова:** ионизационная рефракция, пространственно-временная модуляция, короткий лазерный импульс.

## 1. Введение

Большой интерес к исследованию закономерностей распространения коротких интенсивных лазерных импульсов в ионизирующемся веществе обусловлен широким спектром их возможных приложений. Это, в частности, генерация ускоряющей электроны кильватерной плазменной волны на ионизационном фронте [1, 2], генерация высших гармоник лазерной частоты в процессе ионизации вещества [3], создание источников высокозарядных ионов малой температуры [4]. Пространственно-временная эволюция лазерного импульса является одним из важнейших факторов, определяющих эффективность использования лазерного импульса в этих приложениях.

Проблемам распространения коротких интенсивных лазерных импульсов в ионизирующихся средах посвящена к настоящему времени обширная литература. В частности, в работе [5] исследуется распространение лазерного импульса в частично ионизированной среде и влияние движения различных электронов (связанных и свободных) на процесс распространения; при этом ионизация и, как следствие, существенное изменение условий распространения импульса в ионизируемом им веществе не учитываются. Обсуждается модификация инкрементов общеизвестных параметрических неустойчивостей, а также появление новых типов неустойчивостей в присутствии связанных электронов (см. также [6]). Однако изложенная в этих работах теория представляет собой подобный представленному в [7] линейный анализ устойчивости распространения электромагнитного излучения в ионизированной среде, причем в качестве основного состояния лазерного поля, исследуемого на устойчивость, рассматривается плоская волна.

Результаты численного анализа одномерного распространения лазерного импульса в ионизирующемся газе

(см., напр., рис.1 в работе [8]) демонстрируют возникновение и развитие модуляции временного профиля импульса по мере его проникновения в вещество. В работе [8] (в одномерной постановке задачи) эта модуляция обусловлена поглощением излучения, связанным с приобретением свободными электронами в ходе ионизации остаточной энергии. Отметим, что такие потери энергии не описывают полных ионизационных потерь, которые включают в себя не учтенные в [8] потери на преодоление электроном потенциала ионизации [9]. В условиях работы [8] потери на остаточную энергию и потенциал ионизации близки. Совместное действие этих потерь приводит к «выеданию» временного профиля лазерного импульса. При этом на достаточно большой глубине проникновения излучения в газ с многоэлектронными атомами импульс приобретает вид импульса, промодулированного во времени [9].

Необходимость трехмерной постановки задачи при анализе распространения лазерного импульса в ионизирующемся газе была продемонстрирована как теоретически, так и экспериментально в работе [10]. Было показано, что ионизация газа изменяет условия фокусировки и приводит к смещению фокуса. Однако влияние ионизации на пространственно-временную форму импульса не рассматривалось.

В настоящей работе исследуется модуляция временного профиля импульса, обусловленная трехмерной дифракцией излучения на плазменных образованиях (ионизационной рефракцией [11]). Такая модуляция возникает уже при небольших глубинах проникновения импульса в вещество, когда влиянием ионизационных потерь [9] на форму импульса можно пренебречь. Малая мощность импульса лазерного излучения по сравнению с критической для самофокусировки отличает механизм возникновения пространственно-временной модуляции импульса, исследуемый в настоящей работе, от обсуждаемых в [8, 12, 13]. В работе [8] (в неоднородной постановке задачи) мощность импульса превышала критическую для релятивистской самофокусировки, а в [12, 13] радиус лазерного импульса (пучка) был настолько велик, что мощность импульса превышала критическую для самофоку-

Институт теплофизики экстремальных состояний Объединенного института высоких температур РАН, Россия, 127412 Москва, Ижорская ул., 13/19; e-mail: chegotov@hedric.msk.su

сировки в нейтральном газе. Численное исследование распространения коротких интенсивных лазерных импульсов в ионизирующихся газах проводилось также в работе [14], где было продемонстрировано формирование кольцевых структур в прошедшем сквозь газ лазерном излучении.

## 2. Основные уравнения

В предположении поперечности электромагнитного поля лазерного импульса, распространяющегося вдоль оси  $z$ , уравнение для электрического поля лазерного излучения  $\vec{\mathcal{E}}(z, \mathbf{r}_\perp, t)$  имеет вид

$$\frac{1}{c^2} \frac{\partial^2 \vec{\mathcal{E}}}{\partial t^2} - \frac{\partial^2 \vec{\mathcal{E}}}{\partial z^2} - \Delta_\perp \vec{\mathcal{E}} + \frac{4\pi}{c^2} \frac{\partial \mathbf{J}}{\partial t} = 0.$$

Здесь  $c$  – скорость света;  $\Delta_\perp = \partial^2/\partial x^2 + \partial^2/\partial y^2$ ;  $\mathbf{r}_\perp = \mathbf{e}_x x + \mathbf{e}_y y$ ;  $\mathbf{e}_x$  и  $\mathbf{e}_y$  – единичные орты вдоль осей  $x$  и  $y$  соответственно;  $\mathbf{J}$  – плотность электронного тока. Далее мы не будем учитывать нелинейности при движении электронов в поле лазерной волны. Такое приближение применимо при сравнительно небольшом  $\mathcal{E}$ , когда выполняется неравенство  $e^2 \mathcal{E}^2 / m^2 \omega_0^2 \ll c^2$ , где  $e$  и  $m$  – заряд и масса электрона;  $\omega_0$  – частота лазерного излучения. Кроме того, имея целью исследование влияния ионизации на распространение лазерного излучения, мы пренебрежем ионизационным током [2]. Это возможно, поскольку амплитуды возбуждаемых этим током гармоник сравнительно невелики, а существенное влияние ионизационных потерь на ионизирующий лазерный импульс происходит только при сравнительно продолжительном распространении лазерного импульса в веществе [9].

Тогда уравнение для тока свободных электронов, возникающих в результате туннельной ионизации, примет вид

$$\frac{\partial \mathbf{J}}{\partial t} = \frac{e^2 n_e}{m} \vec{\mathcal{E}},$$

где  $n_e(z, \mathbf{r}_\perp, t)$  – плотность свободных электронов. Отметим, что правая часть этого уравнения является нелинейной функцией напряженности лазерного поля, поскольку нарастающая во времени плотность свободных электронов в результате ионизации является сильно нелинейной функцией  $\mathcal{E}$ .

Для описания пространственно-временной эволюции электрического поля лазерного излучения, поляризованного в направлении  $\mathbf{e}_x$ , представим  $\vec{\mathcal{E}}(z, \mathbf{r}_\perp, t)$  в виде

$$\vec{\mathcal{E}}(z, \mathbf{r}_\perp, \xi) = \frac{1}{2} \mathbf{e}_x E(z, \mathbf{r}_\perp, \xi) \exp(-i\omega_0 \xi) + \text{компл. сопр.}$$

и используем параболическое уравнение для медленно меняющейся на лазерном периоде  $2\pi/\omega_0$  и длине волны  $\lambda_0 = 2\pi c/\omega_0$  амплитуды поля  $E(z, \mathbf{r}_\perp, \xi)$ :

$$\frac{\partial E}{\partial z} - i \frac{c}{2\omega_0} \Delta_\perp E + i \frac{\omega_p^2}{2\omega_0 c} E = 0, \quad (1)$$

где  $\omega_p^2 = 4\pi e^2 n_e(z, \mathbf{r}_\perp, t)/m$ ;  $\xi = t - z/c$  – время в сопутствующей импульсу системе координат. В уравнении (1) мы пренебрегли, в частности, дисперсией электромагнитной волны в предположении малости электронной плотности:  $n_e \ll n_c = m\omega_0^2/4\pi e^2$ .

При описании динамики плотности электронов будем использовать систему уравнений

$$\frac{\partial n_e}{\partial \xi} = \Gamma = \sum_a \sum_{k=0}^{Z_a-1} W_{ak}(E) n_{ak},$$

$$\frac{\partial n_{a0}}{\partial \xi} = -W_{a0} n_{a0}, \quad \frac{\partial n_{ak}}{\partial \xi} = -W_{ak} n_{ak} + W_{ak-1} n_{ak-1}, \quad (2)$$

$$\frac{\partial n_{aZ_a}}{\partial \xi} = W_{aZ_a-1} n_{aZ_a-1}, \quad k = 1, \dots, Z_a - 1,$$

где  $Z_a$  – заряд ядра атома вещества  $a$ ;  $n_{ak}$  – плотность ионов вещества  $a$  с кратностью ионизации  $k$  ( $k=0$  соответствует нейтральному атому);  $W_{ak}(E)$  – вероятность ионизации иона с кратностью  $k$  до иона с кратностью  $k+1$ , определяемая формулой Аммосова–Делоне–Крайнова [15]

$$W_{ak}(E) = \omega_{\text{at}} \sqrt{3} \left( \frac{e}{\pi} \right)^{3/2} \frac{(k+1)^2}{n_*^{4.5}} \left[ 4e \frac{(k+1)^3 E_{\text{at}}}{n_*^4 |E|} \right]^{2n_*-1.5} \times \exp \left[ -\frac{2}{3} \frac{(k+1)^3 E_{\text{at}}}{n_*^3 |E|} \right]; \quad (3)$$

$n_* = (k+1)(U_{\text{H}}/U_{ak})^{1/2}$ ;  $U_{\text{H}}$  – потенциал ионизации атома водорода из основного состояния;  $E_{\text{at}} \approx 5.1 \times 10^9$  В/см – напряженность атомного поля;  $U_{ak}$  – потенциал ионизации иона вещества  $a$  с кратностью  $k$  до иона с кратностью  $k+1$ ;  $\omega_{\text{at}} \approx 4.1 \times 10^{16}$  с $^{-1}$  – атомная частота;  $e \approx 2.72$  – основание натуральных логарифмов.

Граничное условие для уравнения (1) запишем в виде

$$E(z=0, \mathbf{r}_\perp, \xi) = E_0 \exp \left( -\frac{r_\perp^2}{r_0^2} - \frac{\xi^2}{\tau^2} \right), \quad (4)$$

что соответствует на границе входа в вещество  $z=0$  фокусировке с радиусом  $r_0$  гауссова импульса с характерной длительностью  $\tau$ . В качестве начального условия для уравнений (2) выберем условие

$$n_{a0}(z, \mathbf{r}_\perp, \xi = -\infty) = n_a^{(0)} = \text{const}, \quad (5)$$

$$n_{ak}(z, \mathbf{r}_\perp, \xi = -\infty) = 0, \quad k = 1, 2, \dots, Z_a - 1,$$

отвечающее неионизированному однородному газу в отсутствие лазерного импульса.

## 3. Простейшая модель

В условиях туннельной ионизации плотность свободных электронов  $n_e$  оказывается весьма резкой функцией пространственно-временных переменных: во времени ионизация ионов вещества  $a$  кратности  $k$  с образованием иона кратности  $k+1$  продолжается в течение нескольких лазерных периодов, а в пространстве – на протяжении нескольких лазерных длин волн (см. рис.1). Высокая степень локализации ионизации в окрестности некоторой интенсивности лазерного излучения позволяет говорить о пороговой интенсивности  $I_{ak}^{\text{th}}$ ; неплохая оценка  $I_{ak}^{\text{th}}$  дается соотношением  $I_{ak}^{\text{th}} = cU_{ak}^4/[128\pi e^6(k+1)^2]$  [9]. Это позволяет в качестве простейшей модели ионизации на передней части импульса ( $\xi \leq 0$ ) рассмотреть следующую модель:

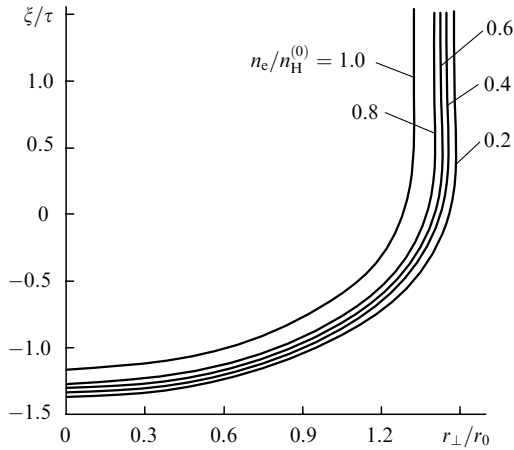


Рис.1. Линии уровня электронной плотности  $n_e/n_H^{(0)}$  в водороде с плотностью  $n_H^{(0)} = 10^{18} \text{ см}^{-3}$  в сопутствующей системе координат  $\xi, r_{\perp}$  при  $z = 0$  и следующих параметрах гауссова импульса:  $I_0 = 10^{16} \text{ Вт/см}^2$ , длительность по полувысоте модуля электрического поля  $T = 40 \text{ фс}$  ( $\tau = T/(2 \ln 2)^{1/2} \approx 34 \text{ фс}$ ), длина волны  $\lambda_0 = 0.8 \text{ мкм}$  и радиус  $r_0 = 53 \text{ мкм}$ .

$$n_e = \sum_a n_a^{(0)} \sum_{k=0}^{Z_a-1} \theta(I - I_{ak}^{\text{th}}), \quad (6)$$

где  $\theta(p) = 0$  при  $p < 0$  и  $1$  при  $p \geq 0$ . При малых глубинах проникновения лазерного импульса в вещество  $z < z_R$  ( $z_R = \omega_0 r_0^2 / 2c$  – рэлеевская длина) пространственная форма импульса (4) слабо деформируется. Для таких длин распределение плотности электронов (6) в координатах  $r_{\perp}, \xi$  для передней части импульса ( $\xi \leq 0$ ) имеет вид вложенных друг в друга эллипсоидов:

$$\frac{r_{\perp}^2}{r_0^2} + \frac{\xi^2}{\tau^2} = \frac{1}{2} \ln \left( \frac{I_0}{I_{ak}^{\text{th}}} \right), \quad (7)$$

где  $I_0 = c|E_0|^2/8\pi$ . Поскольку рекомбинационными процессами мы пренебрегаем в виду малости плотности газа, то распределение плотности  $n_e$  при  $\xi > 0$  имеет вид вложенных друг в друга цилиндров с радиусами

$$R_{ak}(\xi > 0) = R_{ak}(0) \left[ \frac{1}{2} \ln \left( \frac{I_0}{I_{ak}^{\text{th}}} \right) \right]^{1/2}, \quad (8)$$

причем плотность нарастает с переходом от цилиндра с большим радиусом к цилиндру с меньшим радиусом (см. рис.2). Имея в виду сравнительно резкие границы плотности электронов в радиальном направлении, можно говорить о формировании плазменного волновода в результате ионизации газа импульсом. С точки зрения соотношения (8) равенство (7) можно интерпретировать следующим образом: произвольное сечение импульса  $\xi = \text{const} \leq 0$  распространяется в среде, в которой плотность электронов, родившихся в результате ионизации, распределена внутри цилиндра с осью  $z$  с характерной зависимостью от поперечного радиуса  $r_{\perp}$ , показанной на рис.2, где радиусы  $R_{ak}$  зависят от данного положения на временном профиле импульса  $\xi$ :

$$R_{ak}(\xi) = r_0 \left[ \frac{1}{2} \ln \left( \frac{I_0}{I_{ak}^{\text{th}}} \right) - \frac{\xi^2}{\tau^2} \right]^{1/2}. \quad (9)$$

Таким образом, в ионизирующемся веществе каждое сечение  $\xi = \text{const}$  на временном профиле импульса оказывается распространяющимся в плазменном волноводе с по-

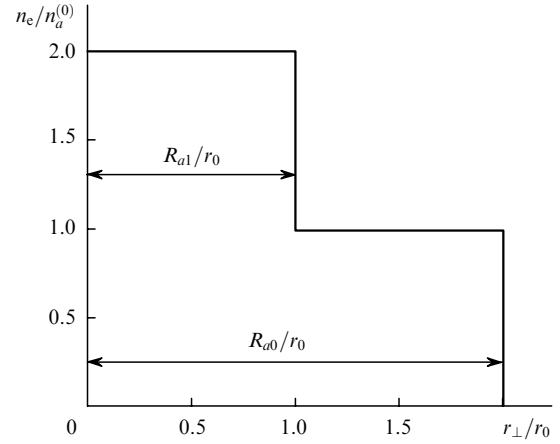


Рис.2. Поперечное к оси  $z$  распределение плотности электронов в модели (6).

перечным распределением плотности электронов, близким к ступенчатому (см. рис.2), радиусы которого зависят от положения  $\xi$  и в данном случае определяются соотношением (9).

В рамках этой модели мы будем решать уравнение (1) с граничным условием (4), причем поперечный распространению лазерного импульса профиль плотности электронов, входящей в уравнение (1), имеет характерный вид, показанный на рис.2, где радиусы на переднем фронте лазерного импульса ( $\xi \leq 0$ )  $R_{ak}$  зависят от  $\xi$  и определяются соотношением (9). Поскольку в рамках нашей модели длины распространения малы:  $z/z_R \equiv s < 1$ , найдем решение (1) в первом порядке разложения по параметру  $n_e/n_c \ll 1$ :

$$E(s, \mathbf{r}_{\perp}, \xi) = E^{(0)}(s, \mathbf{r}_{\perp}, \xi) - \frac{\omega_0^2}{4\pi c^2} \int_0^s \frac{ds'}{s-s'} \int d^2 \mathbf{r}'_{\perp} \frac{n_e(\mathbf{r}'_{\perp}, \xi)}{n_c} \times E^{(0)}(s, \mathbf{r}'_{\perp}, \xi) \exp \left[ i \frac{1}{r_0^2} \frac{(\mathbf{r}_{\perp} - \mathbf{r}'_{\perp})^2}{s-s'} \right], \quad (10)$$

где

$$E^{(0)}(s, \mathbf{r}_{\perp}, \xi) = \frac{E_0}{1+is} \exp \left( -\frac{r_{\perp}^2/r_0^2}{1+is} - \frac{\xi^2}{\tau^2} \right)$$

– свободно дифрагирующее решение уравнения (1) с граничным условием (4).

Исследуем поведение интенсивности поля (10) на оси пучка  $\mathbf{r}_{\perp} = 0$ . Для этого вычислим интеграл по поперечному сечению в (10), учитывая (6):

$$E(s, \mathbf{r}_{\perp} = 0, \xi) = E^{(0)}(s, \mathbf{r}_{\perp} = 0, \xi) \times \left\{ 1 + i \left( \frac{\omega_0 r_0}{2c} \right)^2 \sum_a \frac{n_a^{(0)}}{n_c} \sum_{k=0}^{Z_a-1} \theta(\xi - \xi_{ak}^{\text{th}}) \times \int_0^s \left\{ \exp \left[ i \frac{R_{ak}^2(\xi)}{r_0^2} \frac{1+is}{(s-s')(1+is')} \right] - 1 \right\} ds' \right\}, \quad \xi \leq 0,$$

$$E(s, \mathbf{r}_{\perp} = 0, \xi) = E^{(0)}(s, \mathbf{r}_{\perp} = 0, \xi) \times \left\{ 1 + i \left( \frac{\omega_0 r_0}{2c} \right)^2 \sum_a \frac{n_a^{(0)}}{n_c} \sum_{k=0}^{Z_a-1} \theta(I_0 - I_{ak}^{\text{th}}) \times \right.$$

$$\times \int_0^s \left\{ \exp \left[ i \frac{R_{ak}^2(0)}{r_0^2} \frac{1 + is}{(s-s')(1+is')} \right] - 1 \right\} ds', \quad \xi > 0,$$

где  $\xi_{ak}^{\text{th}}$  соответствует положению пороговой интенсивности на переднем фронте ( $\xi \leq 0$ ) временного профиля импульса при  $r_{\perp} = 0$ . Взяв квадрат модуля от этого выражения, получим в линейном по  $n_e/n_c$  приближении

$$|E(s, r_{\perp} = 0, \xi)|^2 = |E^{(0)}(s, r_{\perp} = 0, \xi)|^2 \times \left\{ 1 - \frac{1}{2} \left( \frac{\omega_0 r_0}{c} \right)^2 \sum_a \frac{n_a^{(0)}}{n_c} \sum_{k=0}^{Z_a-1} \theta(\xi - \xi_{ak}^{\text{th}}) \int_0^s \exp \left( -\frac{R_{ak}^2(\xi)/r_0^2}{1+s'^2} \right) \times \sin \left[ \frac{R_{ak}^2(\xi)}{r_0^2} \frac{1 + ss'}{(s-s')(1+s'^2)} \right] ds' \right\}, \quad \xi \leq 0, \quad (11)$$

$$|E(s, r_{\perp} = 0, \xi)|^2 = |E^{(0)}(s, r_{\perp} = 0, \xi)|^2 \times \left\{ 1 - \frac{1}{2} \left( \frac{\omega_0 r_0}{c} \right)^2 \sum_a \frac{n_a^{(0)}}{n_c} \sum_{k=0}^{Z_a-1} \theta(I_0 - I_{ak}^{\text{th}}) \int_0^s \exp \left( -\frac{R_{ak}^2(0)/r_0^2}{1+s'^2} \right) \times \sin \left[ \frac{R_{ak}^2(0)}{r_0^2} \frac{1 + ss'}{(s-s')(1+s'^2)} \right] ds' \right\}, \quad \xi > 0,$$

При малых глубинах проникновения ( $s^2 R_{ak}^2(\xi)/r_0^2 < 1$ ) выражение (11) можно упростить:

$$|E(s, r_{\perp} = 0, \xi)|^2 = |E^{(0)}(s, r_{\perp} = 0, \xi)|^2 \times \left\{ 1 - \frac{s}{2} \left( \frac{\omega_0 r_0}{c} \right)^2 \sum_a \frac{n_a^{(0)}}{n_c} \sum_{k=0}^{Z_a-1} \theta(\xi - \xi_{ak}^{\text{th}}) \exp[-su_{ak}(s, \xi)] \times F(u_{ak}(s, \xi)) \right\}, \quad \xi \leq 0, \quad (12)$$

$$|E(s, r_{\perp} = 0, \xi)|^2 = |E^{(0)}(s, r_{\perp} = 0, \xi)|^2 \times \left\{ 1 - \frac{s}{2} \left( \frac{\omega_0 r_0}{c} \right)^2 \sum_a \frac{n_a^{(0)}}{n_c} \sum_{k=0}^{Z_a-1} \theta(I_0 - I_{ak}^{\text{th}}) \exp[-su_{ak}(s, 0)] \times F(u_{ak}(s, 0)) \right\}, \quad \xi > 0$$

Здесь  $u_{ak}(s, \xi) = R_{ak}^2(\xi)/(r_0^2 s)$ ;  $F(x) = \sin(x) - x\text{Ci}(x)$ ;

$$\text{Ci}(x) = - \int_x^{\infty} \frac{\cos t}{t} dt$$

– интегральный косинус [16]. Если бы распространение лазерного импульса происходило в заранее подготовленном плазменном волноводе с фиксированным радиусом ( $R = \text{const}$ ), то временной профиль импульса определялся бы лишь временным профилем свободно дифрагирующего импульса  $|E^{(0)}(\xi)|^2$  и тем самым временной зависимостью поля на границе (см. (4)).

Однако в ионизирующемся веществе радиус  $R$  является функцией положения  $\xi$  на переднем фронте импульса (см. (9)), поэтому с проникновением импульса в ионизируемое им вещество передний фронт его временного профиля оказывается промодулированным (см. (12)). Заметим, что в рамках нашей модели задняя часть импульса распространяется в заранее сформированном плазменном волноводе ( $\xi > 0$ ). Следствием этого является отсутствие модуляции задней части импульса (см. (11), (12) при  $\xi > 0$ ).

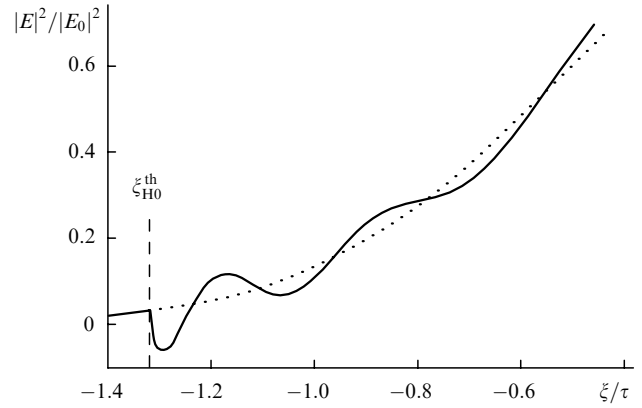


Рис.3. Зависимость (12) (сплошная линия) и зависимость начального профиля импульса (пунктир) от  $\xi$ . Параметры импульса и газа те же, что и на рис.1, время  $\xi$  отсчитывается от максимума начального профиля импульса, глубина проникновения импульса в глубь газа  $z = 0.1z_R$ .

На рис.3 представлена зависимость (12) от  $\xi$  для передней части импульса с максимальной интенсивностью  $I_0 = 10^{16}$  Вт/см<sup>2</sup>, длительностью по полувысоте модуля электрического поля  $T = 40$  фс, длиной волны  $\lambda_0 = 0.8$  мкм и радиусом  $r_0 = 53$  мкм, прошедшего на глубину  $z = 0.1z_R$  в водороде ( $U_{H0} = 13.6$  эВ,  $I_{H0}^{\text{th}} = 3.1 \times 10^{14}$  Вт/см<sup>2</sup>) с начальной плотностью атомов  $n_H^{(0)} = 10^{18}$  см<sup>-3</sup>. При этом выбранная пороговая интенсивность  $I_{H0}^{\text{th}}$  учитывает динамику ионизации в поле импульса и отличается от интенсивности  $1.4 \times 10^{14}$  Вт/см<sup>2</sup>, предсказываемой вышеупомянутой формулой стационарной теории (ср. с [9]).

Отметим ряд особенностей полученной зависимости интенсивности на оси пучка от  $\xi$ . Они определяются главным образом поведением функции  $F(x)$ , представленной на рис.4. Вблизи пороговой интенсивности ионизации (в окрестности  $\xi_{ak}^{\text{th}}$  ( $\xi > \xi_{ak}^{\text{th}}$ ) на рис.3) интенсивность поля быстро падает. С удалением от пороговой интенсивности в сторону увеличения  $\xi$  поле импульса осциллирует относительно своей первоначальной временной формы, причем период осцилляций по  $\xi$  увеличивается, а их амплитуда падает.

Быстрое уменьшение интенсивности поля в окрестности  $\xi_{ak}^{\text{th}}$  означает эффективную дифракцию лазерного импульса на плазменном волноводе с малым радиусом. Поскольку при этом на участке  $\xi_{ak}^{\text{th}} < \xi < \xi_{ak}^{\text{NL}}$  интенсивность поля  $I = c|E|^2/8\pi$  становится меньше пороговой  $I_{ak}^{\text{th}}$  ( $I_{ak}^{\text{th}} \equiv I(\xi_{ak}^{\text{th}}) = I(\xi_{ak}^{\text{NL}})$ ), то представленная здесь простейшая модель оказывается слишком грубой для описания нелинейной самосогласованной картины баланса ио-

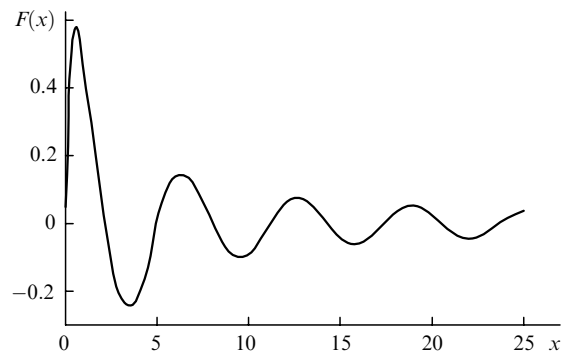


Рис.4. Функция  $F(x) = \sin x - x\text{Ci}(x)$ .

низации и дифракции на плазменных образованиях малого радиуса на участке  $(\xi_{ak}^{th}, \xi_{ak}^{NL})$ . Точка  $\xi_{ak}^{NL}$  находится из условия  $I = I_{ak}^{th}$ . Тем не менее, как будет видно из численного самосогласованного анализа нелинейного распространения импульса в ионизирующемся газе, модель правильно описывает тенденцию к быстрой дифракции на самом переднем фронте ионизации в окрестности  $\xi_{ak}^{th}$ . При неглубоком проникновении в вещество ( $s < 1$ ) величина  $\xi_{ak}^{NL}$  приблизительно равна решению уравнения

$$F(u_{ak}(s, \xi)) = 0, \quad (13)$$

причем для нахождения  $\xi_{ak}^{NL}$  следует выбрать первый отличный от нуля корень  $u_{ak}(s, \xi_{ak}^{NL}) = u^{NL} \approx 2.156$  (см. рис.4). Отсюда получим

$$\frac{\xi_{ak}^{NL}}{\tau} = - \left[ \frac{1}{2} \ln \left( \frac{I_0}{I_{ak}^{th}} \right) - su^{NL} \right]^{1/2} = - \left[ \left( \frac{\xi_{ak}^{th}}{\tau} \right)^2 - su^{NL} \right]^{1/2}, \quad (14)$$

так что область эффективной дифракции на переднем фронте в окрестности порога ионизации увеличивается с проникновением импульса в вещество (т.е. с увеличением  $s$ ).

При  $\xi > \xi_{ak}^{NL}$  интенсивность лазерного поля достаточна для ионизации. Точки максимумов отклонения  $|E|$  от  $|E^{(0)}|$  на оси  $\xi$  близки к точкам экстремумов функции  $F(u_{ak}(s, \xi))$ . Последние совпадают с нулями функции  $\text{Ci}(u_{ak})$ . Поскольку  $u^{(1)} \approx 0.617$  – первый отличный от нуля корень уравнения  $\text{Ci}(u) = 0$  – соответствует  $\xi < \xi_{ak}^{NL}$ , то он должен быть исключен. Второй корень  $u^{(2)} \approx 3.384$  отвечает  $\xi > \xi_{ak}^{NL}$ ; последующие корни с погрешностью лучше 2% определяются соотношением  $u^{(n)} \approx (n-1)\pi$ , где  $n = 3, 4, \dots$ , причем погрешность уменьшается с ростом  $n$ . Тогда координаты  $\xi_{ak}^{(n)}$  максимальных отклонений от начальной формы импульса на его временном профиле приближенно определяются выражением

$$\frac{\xi_{ak}^{(n)}}{\tau} = - \left[ \frac{1}{2} \ln \left( \frac{I_0}{I_{ak}^{th}} \right) - su^{(n)} \right]^{1/2} = - \left[ \left( \frac{\xi_{ak}^{th}}{\tau} \right)^2 - su^{(n)} \right]^{1/2}. \quad (15)$$

С приближением к пиковой интенсивности импульса (с увеличением номера  $n$ ) расстояния между координатами ближайших максимальных отклонений  $\xi_{ak}^{(n)}$  и  $\xi_{ak}^{(n+1)}$  увеличиваются. При этом в данных точках относительная амплитуда отклонений

$$\begin{aligned} \varepsilon_{ak}^{(n)}(s) &= \frac{|E(s, \mathbf{r}_\perp = 0, \xi_{ak}^{(n)})|^2 - |E^{(0)}(s, \mathbf{r}_\perp = 0, \xi_{ak}^{(n)})|^2}{|E^{(0)}(s, \mathbf{r}_\perp = 0, \xi_{ak}^{(n)})|^2} \\ &\approx - \frac{s}{2} \left( \frac{\omega_0 r_0}{c} \right)^2 \frac{n_a^{(0)}}{n_c} \exp(-su^{(n)}) F(u^{(n)}). \end{aligned} \quad (16)$$

Для  $F(u^{(n)})$ , в частности, имеем  $F(u^{(2)}) \approx -0.24$ ,  $F(u^{(3)}) \approx 0.143$ .

Из соотношения (15) следует, что с проникновением импульса в глубь вещества (с увеличением  $s$ ) пространственный масштаб модуляции увеличивается, а максимумы и минимумы относительного отклонения  $\varepsilon_{ak}^{(n)}(s)$  смещаются к центру импульса  $\xi = 0$ . Амплитуда же модуляции с увеличением  $s$  изменяется согласно (16) неоднородно. Для тех номеров  $n$ , для которых  $u^{(n)} > 1/s$ , величины  $\varepsilon_{ak}^{(n)}(s)$  убывают с ростом  $s$ . Амплитуды модуляции с номерами  $n$ , удовлетворяющими неравенству  $u^{(n)} < 1/s$ , нарастают с ростом  $s$ . Таким образом, область ионизационной модуляции на временном профиле лазерного импульса сокращается при проникновении им-

пульса в глубь вещества, сосредоточиваясь вблизи пороговых интенсивностей ионизации. При этом модуляция становится более крупномасштабной. Такая тенденция в развитии ионизационной модуляции означает формирование ступенчатого профиля импульса со ступеньками в окрестностях точек  $\xi_{ak}^{NL}$  (см. соотношение (14)).

Характерную длину формирования ступенчатого профиля оценим как глубину проникновения  $z_{st} = z_R/u^{(2)} \approx 0.3z_R$ , на которой расположен ближайший к  $\xi_{ak}^{NL}$  максимум  $\varepsilon_{ak}^{(2)}(s)$  (см. (16)) по  $s$ :

$$\varepsilon_{ak}^{(2)} \left( \frac{1}{u^{(2)}} \right) \approx 0.013 \left( \frac{\omega_0 r_0}{c} \right)^2 \frac{n_a^{(0)}}{n_c} \equiv \delta. \quad (17)$$

Остальные экстремумы (с  $n \geq 3$ ) на такой глубине проникновения оказываются подавленными в силу экспоненциальной зависимости от  $s$  в (16). Низший уровень ступеньки равен приблизительно  $I_{ak}^{th}$  в точке  $\xi_{ak}^{NL}$ , а высший уровень  $I_{ak}^{st}$  достигается в точке  $\xi_{ak}^{(2)}$ . Согласно (17) относительную высоту ступеньки можно оценить по формуле

$$\frac{I_{ak}^{st} - I_{ak}^{th}}{I_{ak}^{th}} \approx 0.013 \left( \frac{\omega_0 r_0}{c} \right)^2 \frac{n_a^{(0)}}{n_c}. \quad (18)$$

Отметим, что высота ступеньки может быть весьма значительной, поскольку  $\omega_0 r_0/c = 2\pi r_0/\lambda_0 \gg 1$ . Оставаясь в рамках изложенной здесь простейшей модели, необходимо потребовать, чтобы величина  $\varepsilon_{ak}^{(2)}(1/u^{(2)}) = \delta$  была меньше или, по крайней мере, порядка единицы.

Таким образом, если  $\delta \leq 1$ , то при распространении импульса на расстояния  $z < z_{st} \approx 0.3z_R$  проявления ионизационной модуляции следует ожидать в виде модуляции временного профиля импульса с относительной амплитудой, меньшей или равной  $\delta$ . С приближением к  $z = z_{st}$  формируется ступенчатообразный временной профиль импульса с крутым передним фронтом. Положение переднего фронта ( $k = 0$ ), а также ступенек на временном профиле импульса  $\xi_{ak}^{st}$  при  $s = 1/u^{(2)}$  определяются соотношением (14)

$$\frac{\xi_{ak}^{st}}{\tau} = - \left[ \frac{1}{2} \ln \left( \frac{I_0}{I_{ak}^{th}} \right) - \frac{u^{NL}}{u^{(2)}} \right]^{1/2} \approx - \left[ \frac{1}{2} \ln \left( \frac{I_0}{I_{ak}^{th}} \right) - 0.637 \right]^{1/2}. \quad (19)$$

Далее вплоть до расстояний  $z \sim z_R$  (когда нарушается принятое в этой модели условие сравнительно слабой дифракции  $z < z_R$ ) можно ожидать слабого изменения пространственно-временной формы импульса. Последнее обусловлено тем, что на расстоянии  $z = z_{st}$  ионизационная рефракция импульса в окрестностях порогов ионизации  $\xi < \xi_{ak}^{NL}$  приводит к образованию как ступенек, так и более плоских ионизационных фронтов электронной плотности.

При  $\delta \gg 1$  модуляция временного профиля импульса оказывается значительной уже на расстояниях  $z < z_{st}$ , до формирования ступенчатообразного профиля. В этих условиях ионизационная модуляция инициирует существенное нелинейное изменение пространственно-временной формы импульса.

#### 4. Численный анализ

Система уравнений (1)–(3) решалась численно методом сеток, причем для решения уравнения (1) применя-

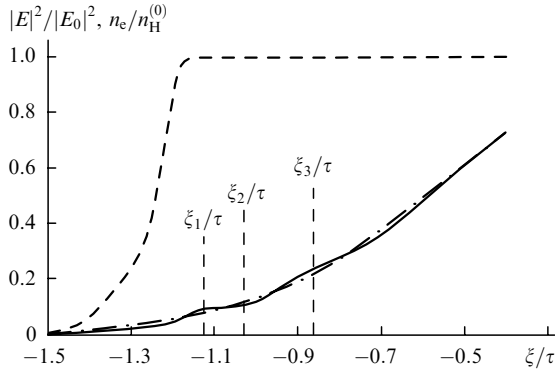


Рис.5. Зависимости  $|E(s, r_{\perp} = 0, \xi)|^2/|E_0|^2$  (сплошная линия), начального профиля импульса (штрих-пунктир) и  $n_e(s, r_{\perp} = 0, \xi)/n_H^{(0)}$  (штриховая линия) от  $\xi$ . Параметры импульса и газа те же, что и на рис.1, время  $\xi$  отсчитывается от максимума начального профиля импульса, глубина проникновения импульса в глубину газа  $z = 0.1z_R$ .

лась консервативная симметричная схема; точность счета контролировалась по интегралу сохранения потока энергии лазерного излучения для каждого сечения  $\xi$ . На рис.5 представлены зависимости  $|E(s, r_{\perp} = 0, \xi)|^2/|E_0|^2$  и  $n_e(s, r_{\perp} = 0, \xi)/n_H^{(0)}$  от  $\xi$  для передней части импульса с максимальной интенсивностью  $I_0 = 10^{16}$  Вт/см<sup>2</sup>, полной длительностью по популяции модуля электрического поля  $T = 40$  фс, длиной волны  $\lambda_0 = 0.8$  мкм и радиусом  $r_0 = 0.53$  мкм, прошедшего на глубину  $z = 0.1z_R$  в водороде с начальной плотностью атомов  $n_H^{(0)} = 10^{18}$  см<sup>-3</sup>. Нетрудно видеть осцилляторные отклонения  $|E|^2$  от первоначального временного профиля. Сравнивая рис.3 и 5, можно сделать вывод о том, что простейшая модель предыдущего раздела дает качественно правильное предсказание изменения формы импульса на оси  $r_{\perp} = 0$ . При этом пространственные масштабы модуляции оказываются близкими друг другу. Однако модельные амплитуды модуляций примерно в 2 раза больше амплитуд, полученных в результате решения нелинейной самосогласованной задачи распространения импульса с учетом дифракции.

Для того чтобы понять причину такого различия, рассмотрим поведение лазерного поля и электронной плотности в поперечных к направлению распространения сечениях  $\xi = \text{const}$ . На рис.6 показаны зависимости  $n_e(r_{\perp})$ ,  $|E(r_{\perp})|^2/|E_0|^2$  при  $z = 0.1z_R$  и различных  $\xi$ :  $\xi_1/\tau = -1.124$ ,  $\xi_2/\tau = -1.03$ ,  $\xi_3/\tau = -0.87$ , причем  $\xi_1$  и  $\xi_3$  соответствуют областям увеличения  $|E|^2$  при модуляции, а  $\xi_2$  – области уменьшения (см. рис.5). Из рис.6,б видно, что модуляционное уменьшение  $|E|^2$  обусловлено рефракцией лазерного излучения от оси импульса  $r_{\perp} = 0$ ; поскольку рефракция происходит в плазменном канале, стенки которого препятствуют свободному распространению излучения от оси  $r_{\perp} = 0$ , то образуется отчетливо видный, удаленный от  $r_{\perp} = 0$  максимум. В свою очередь присутствие плазменного канала приводит к фокусировке излучения, приходящегося на окрестности  $\xi_1$  и  $\xi_3$  на временном профиле импульса (см. рис.6,а,в).

На рис.6 размер области переменной электронной плотности по радиусу  $r_{\perp}$  оказывается сравнимым с радиусом области постоянной плотности вблизи  $r_{\perp} = 0$ . Именно это и является причиной более сглаженной модуляции по  $\xi$  интенсивности на оси импульса по сравнению с предсказываемой моделью с резкими границами  $n_e$  по радиусу (см. рис.2).

На передней части импульса в окрестности пороговой

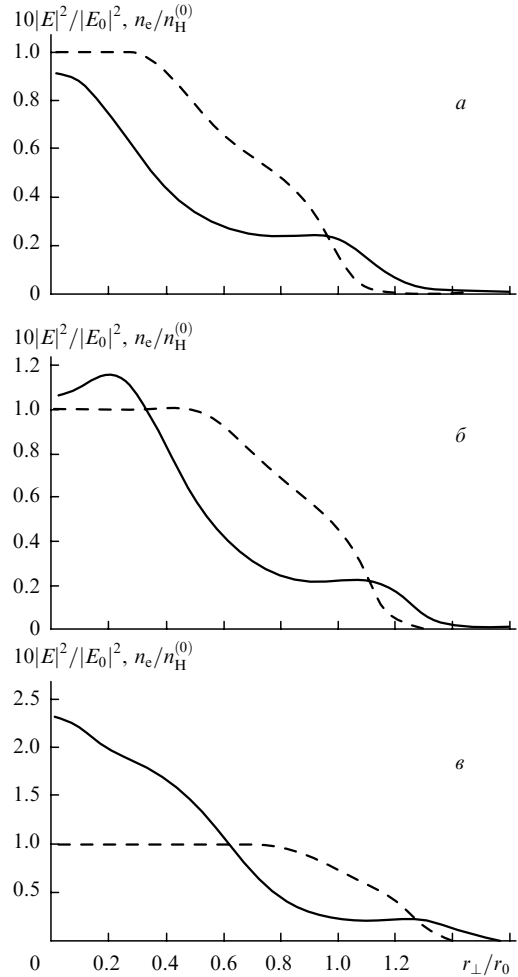


Рис.6. Зависимости  $10|E(r_{\perp})|^2/|E_0|^2$  (сплошная линия) и  $n_e(r_{\perp})/n_H^{(0)}$  (штриховая линия) при  $z = 0.1z_R$  и  $\xi_1/\tau = -1.124$  (а),  $\xi_2/\tau = -1.03$  (б) и  $\xi_3/\tau = -0.87$  (в). Параметры импульса и газа те же, что и на рис.1.

интенсивности быстрая дифракция на плазменном образовании с малым поперечным размером приводит к появлению плато со сравнительно низкой интенсивностью. Последнее замедляет ионизацию и мешает достижению полной ионизации газа на самой передней части импульса. Области временного профиля импульса с большей интенсивностью создают плазменные каналы с большими поперечными радиусами, и, как следствие, дифракция на электронной плотности для таких областей оказывается замедленной. В результате (см. рис.5) ионизационный фронт электронной плотности оказывается состоящим из двух участков: области медленного нарастания  $n_e(\xi)$ , контролируемой сильной дифракцией, и области быстрой ионизации, где радиус поперечного сечения импульса с интенсивностью выше пороговой оказывается достаточно большим.

Заметим, что параметры рис.5, 6 соответствуют  $\delta = 1.3$  (см.(17)), так что в этих условиях следует ожидать формирования ступенчатообразного профиля. Действительно, на рис.7 видно, что с продвижением в глубь вещества на передней части импульса формируется профиль с крутым передним фронтом. При  $I_{H0}^{th} = 3.1 \times 10^{14}$  Вт/см<sup>2</sup> и  $I_0 = 10^{16}$  Вт/см<sup>2</sup> соотношение (19) предсказывает для координаты этого фронта  $\xi_{H0}^{st}/\tau = -1.05$ , что прекрасно соответствует положению фронта на рис.7 при  $z = 0.3z_R$ . На рис.8,а показано нормированное на  $I_0$  пространственно-временное распределение интенсивности импуль-

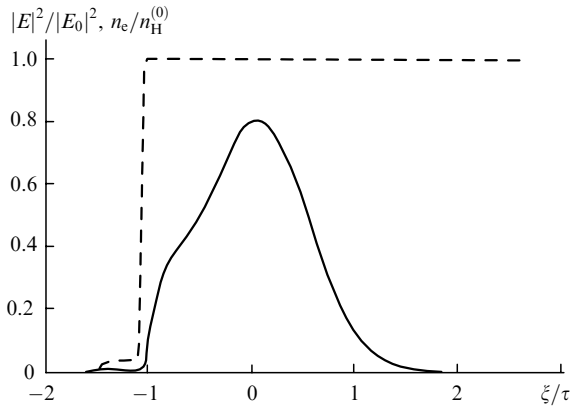


Рис.7. Зависимости  $|E(s, r_{\perp} = 0, \xi)|^2/|E_0|^2$  (сплошная линия) и  $n_e(s, r_{\perp} = 0, \xi)/n_H^{(0)}$  (штриховая линия) от  $\xi$ . Параметры импульса и газа те же, что и на рис.1, время  $\xi$  отсчитывается от максимума начального профиля импульса, глубина проникновения импульса в глубь газа  $z = 0.3z_R$ .

са при более глубоком проникновении его в вещество, т. е. при  $z = z_R$ . Для сравнения на рис.8,б приведено распределение интенсивности импульса при  $z = 0.3z_R$ . Нетрудно видеть, что пространственно-временные формы импульса на этих расстояниях весьма близки.

Согласно соотношению (12) амплитуда ионизационной модуляции определяется безразмерным параметром  $A = (\omega_0 r_0 / c)^2 n_a^{(0)} / n_c$  (см. также (18)); для приведенных выше примеров  $A = 100$ . Через эту величину определяется также и отношение мощности лазерного импульса  $P$  к критической для релятивистской самофокусировки мощности  $P_c$ . Для приведенных выше примеров это отношение сравнительно мало:  $P/P_c \approx 0.015$ . Такое малое отношение позволяет варьировать параметр  $A$  в ши-

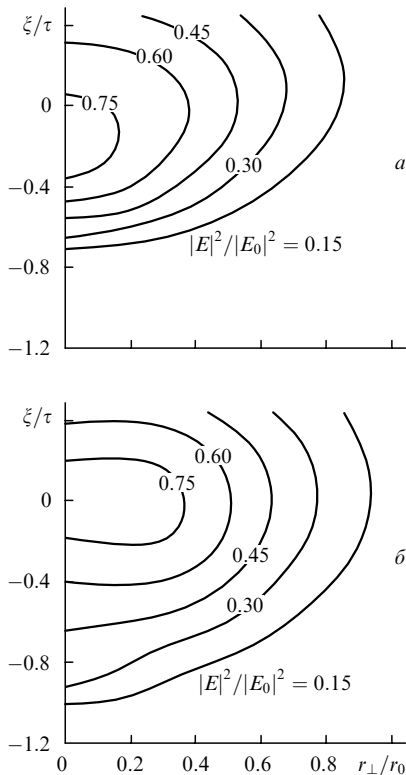


Рис.8. Линии уровня  $|E(s, r_{\perp}, \xi)|^2/|E_0|^2$  в сопутствующей системе координат  $\xi, r_{\perp}$  при  $z = z_R$  (а) и  $0.3z_R$  (б). Параметры импульса и газа те же, что и на рис.1.

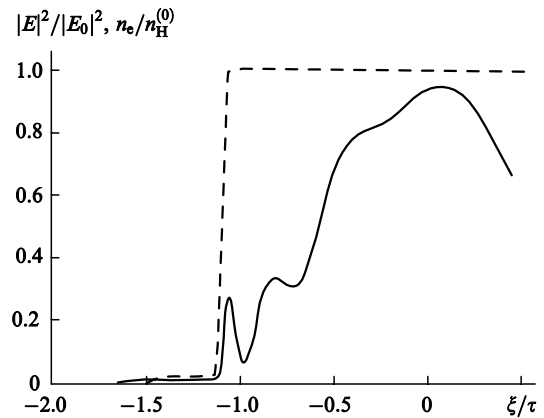


Рис.9. Зависимости  $|E(s, r_{\perp} = 0, \xi)|^2/|E_0|^2$  (сплошная линия) и  $n_e(s, r_{\perp} = 0, \xi)/n_H^{(0)}$  (штриховая линия) от  $\xi$  в водороде при  $n_H^{(0)} = 9 \times 10^{18} \text{ см}^{-3}$ . Параметры импульса те же, что и на рис.1, время  $\xi$  отсчитывается от максимума начального профиля импульса, глубина проникновения импульса в глубь газа  $z = 0.1z_R$ .

роких пределах, при этом влияние релятивистской самофокусировки на распространение лазерного импульса остается пренебрежимо малым. С увеличением  $A$  в 9 раз, что соответствует, например, увеличению плотности газа  $n_H^{(0)}$  от значения  $10^{18} \text{ см}^{-3}$ , рассмотренного выше, до значения  $9 \times 10^{18} \text{ см}^{-3}$  (при этом  $P/P_c \approx 0.13$ ), ионизационная модуляция уже на расстоянии  $z = 0.1z_R$  оказывается существенно ярче выраженной (см. рис.9) по сравнению с модуляцией в условиях рис.5. В результате с продвижением в глубь вещества происходят сильные осцилляции пространственно-временного распределения интенсивности лазерного импульса (см. рис.10), а на расстоянии  $z = 0.3z_R$  форма распределения оказывается близкой к полученной в [14] (см. рис.10,б). Заметим, что параметры рис.9, 10 соответствуют  $\delta \approx 12 \gg 1$  (см. (17)). В этих условиях ожидать формирования ступенчатого профиля с его последующим плавным продвижением в глубь ионизирующегося вещества нельзя, что полностью соответствует предсказаниям предложенной выше модели.

## 5. Заключение

Таким образом, при проникновении лазерного импульса в ионизируемое вещество его временной профиль оказывается промодулированным. Модуляция возбуждается при ионизации нейтральных частиц или ионов с разной кратностью ионизации и обусловлена рефракцией электромагнитного излучения на неоднородных нестационарных плазменных образованиях, рождающихся в результате ионизации вещества пространственно-неоднородным импульсом. В газах с многоэлектронными атомами последовательная ионизация происходит при разных интенсивностях лазерного излучения и, следовательно, модуляция инициируется в различных областях временного профиля импульса.

Амплитуды модуляции в различных областях временного профиля импульса сначала нарастают, а затем падают с увеличением глубины его проникновения в вещество. Максимумы относительных амплитуд модуляции достигаются на глубине проникновения  $z_{st} = z_R/u^{(2)} \approx 0.3z_R$ . Максимальная относительная амплитуда модуляции определяется формулой (17) и нарастает с увеличением радиуса лазерного импульса и плотности свобод-

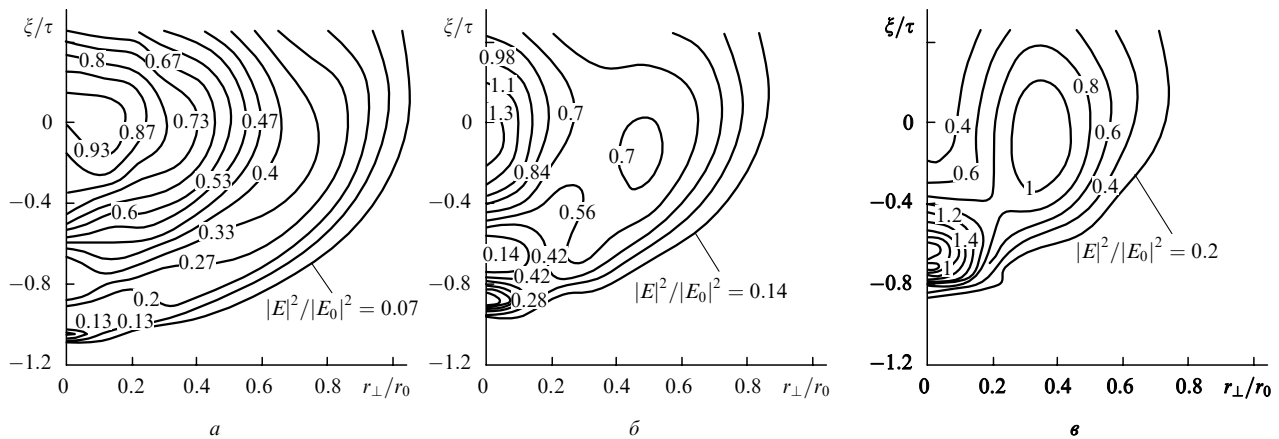


Рис.10. Линии уровня  $|E(s, r_{\perp}, \xi)|^2/|E_0|^2$  в сопутствующей системе координат  $\xi, r_{\perp}$  при  $z = 0.1z_R$  (а),  $0.2z_R$  (б) и  $0.3z_R$  (в). Параметры импульса и газа те же, что и на рис.9.

ных электронов. При этом положение максимума модуляции на профиле лазерного импульса определяется соотношением (15) при  $n = 2$  и  $s = 1/u^{(2)}$ . Если это положение совпадает с первоначальным положением пиковой интенсивности  $I_0$  (т. е.  $\xi_{ak}^{(2)} = 0$  в (15)), то максимальная интенсивность импульса увеличивается. Относительное увеличение максимальной интенсивности по сравнению с первоначальной интенсивностью  $I_0$  оценивается формулой (17) и может быть значительным. Такой «резонанс» на глубине проникновения  $z_{st}$  возможен тогда, когда  $\xi_{ak}^{(2)} = 0$  и, следовательно (см. (15)),  $I_{ak}^{th} = I_0 \exp(-2)$ . Для определенного газа это соотношение может быть удовлетворено подходящим выбором пиковой интенсивности  $I_0$ .

Работа частично поддержана РФФИ (грант № 01-02-16723).

1. Andreev N.E., Chegotov M.V., Veisman M.E. *IEEE Trans. Plasma Sci.*, **28**, 1098 (2000).
2. Андреев Н.Е., Вейсман М.Е., Кейджян М.Г., Чеготов М.В.

*Физика плазмы*, **26**, 1010 (2000).

3. L'Huillier A., Lompre L.-A., Mainfray G., Manus C. In: *Atoms in intense laser fields*. Ed. by M.Gavrila (N.Y., Academic Press, 1992. p. 139–201).
4. Andreev N.E., Chegotov M.V. *Proc. SPIE*, **4352**, 191 (2001).
5. Sprangle P., Esarey E., Hafizi B. *Phys. Rev. Lett.*, **79**, 1046 (1997).
6. Sprangle P., Esarey E., Hafizi B. *Phys. Rev. E*, **56**, 5894 (1997).
7. Беспалов В.И., Таланов В.И. *Письма в ЖЭТФ*, **3**, 471 (1966).
8. Antonsen T.M., Bian Z. *Phys. Rev. Lett.*, **82**, 3617 (1999).
9. Чеготов М.В. *Физика плазмы*, **26**, 940 (2000).
10. Malka V., De Wispelaere E., Marques J.R. et al. *Phys. Plasmas*, **3**, 1682 (1996).
11. Leemans W.P., Clayton C.E., Mori W.B. et al. *Phys. Rev. A*, **46**, 1091 (1992).
12. Couairon A., Berge L. *Phys. Plasmas*, **7**, 193 (2000).
13. Couairon A., Berge L. *Phys. Plasmas*, **7**, 210 (2000).
14. Chessa P., De Wispelaere E., Dorchies F. et al. *Phys. Rev. Lett.*, **82**, 552 (1999).
15. Аммосов М.В., Делоне Н.Б., Крайнов В.П. *ЖЭТФ*, **91**, 2008 (1986).
16. *Справочник по специальным функциям*. Под ред. М.Абрамовица, И.Стигана (М.: Наука, 1979, с. 60).